

# Elastische Kurven, Bildmaterial.

Sascha Eichmann

# Killing Vektorfelder

- $V$  Vektorfeld auf Mannigfaltigkeit  $(M, g)$ .

# Killing Vektorfelder

- $V$  Vektorfeld auf Mannigfaltigkeit  $(M, g)$ .
- $\Phi_V : M \times \mathbb{R} \rightarrow M$  Fluss  $V : \Leftrightarrow \frac{\partial \Phi_V}{\partial t}(p, t) = V(p)$ .

# Killing Vektorfelder

- $V$  Vektorfeld auf Mannigfaltigkeit  $(M, g)$ .
- $\Phi_V : M \times \mathbb{R} \rightarrow M$  Fluss  $V : \Leftrightarrow \frac{\partial \Phi_V}{\partial t}(p, t) = V(p)$ .
- $V$  Killing : $\Leftrightarrow \forall t : \Phi_V(\cdot, t) : M \rightarrow M$  ist Isometrie von  $M$ .

# Killing Vektorfelder

- $V$  Vektorfeld auf Mannigfaltigkeit  $(M, g)$ .
- $\Phi_V : M \times \mathbb{R} \rightarrow M$  Fluss  $V : \Leftrightarrow \frac{\partial \Phi_V}{\partial t}(p, t) = V(p)$ .
- $V$  Killing : $\Leftrightarrow \forall t : \Phi_V(\cdot, t) : M \rightarrow M$  ist Isometrie von  $M$ .

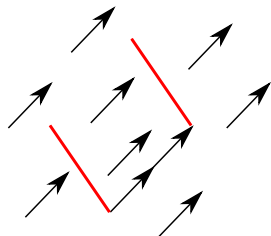


Figure 1: Translation in  $\mathbb{R}^2$ .

# Killing Vektorfelder

- $V$  Vektorfeld auf Mannigfaltigkeit  $(M, g)$ .
- $\Phi_V : M \times \mathbb{R} \rightarrow M$  Fluss  $V : \Leftrightarrow \frac{\partial \Phi_V}{\partial t}(p, t) = V(p)$ .
- $V$  Killing : $\Leftrightarrow \forall t : \Phi_V(\cdot, t) : M \rightarrow M$  ist Isometrie von  $M$ .

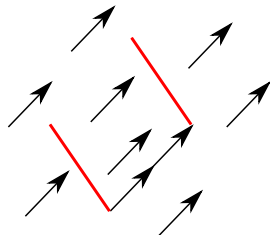


Figure 1: Translation in  $\mathbb{R}^2$ .

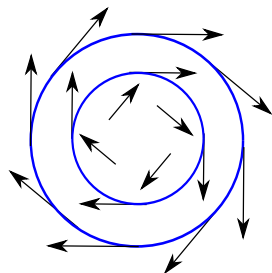
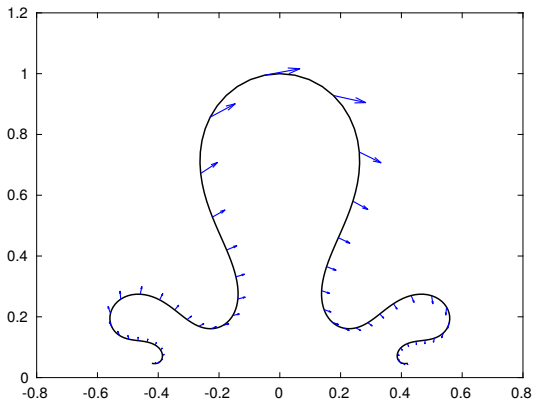
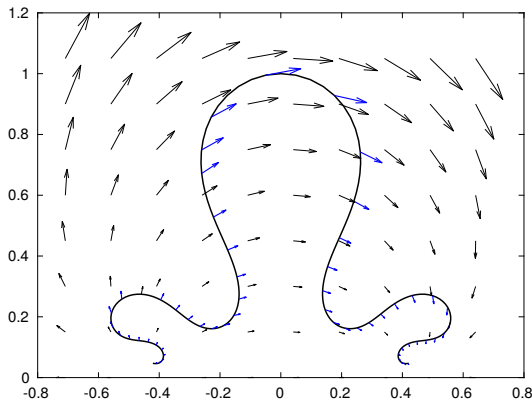


Figure 2: Rotation in  $\mathbb{R}^2$ .

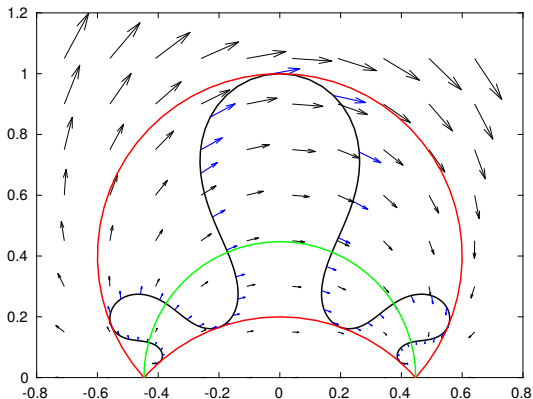
# Visualisierung von Langer&Singer Killing Vektorfeld mit wellenartigen Lösungen, $|K_0| \in (2, \infty)$ .



# Visualisierung von Langer&Singer Killing Vektorfeld mit wellenartigen Lösungen, $|K_0| \in (2, \infty)$ .



# Visualisierung von Langer&Singer Killing Vektorfeld mit wellenartigen Lösungen, $|K_0| \in (2, \infty)$ .



# Orbitale elastische Kurven auf $\mathbb{H}^2$ , $|K_0| \in (0, 2)$

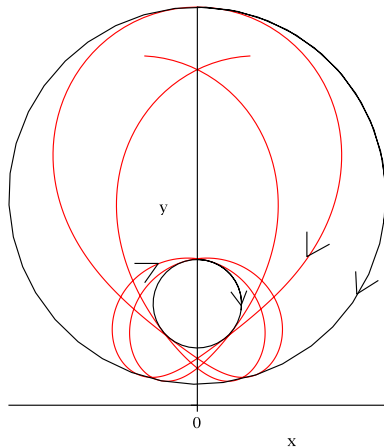


Figure 3: Orbitale elastische Kurve in  $\mathbb{H}^2$ .

# Asymptotisch geodätische Kurve auf $\mathbb{H}^2$ , $K_0 = -2$

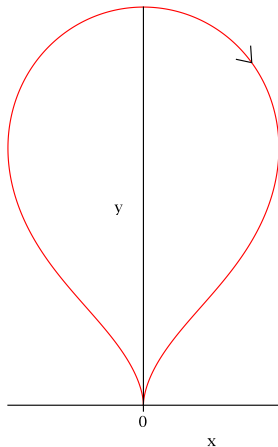


Figure 4: Asymptotisch geodätische Kurve in  $\mathbb{H}^2$ .

# Asymptotisch geodätische Kurve auf $\mathbb{H}^2$ , $K_0 = 2$

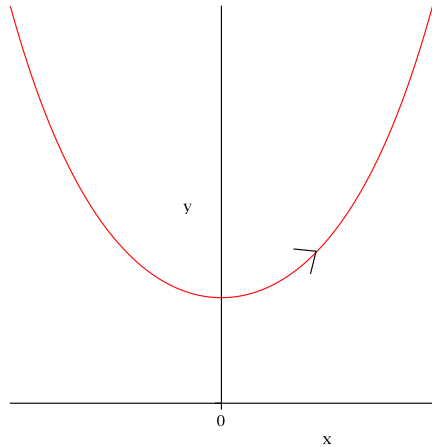


Figure 5: Asymptotisch geodätische Kurve in  $\mathbb{H}^2$ .

# Axialsymmetrische Flächen

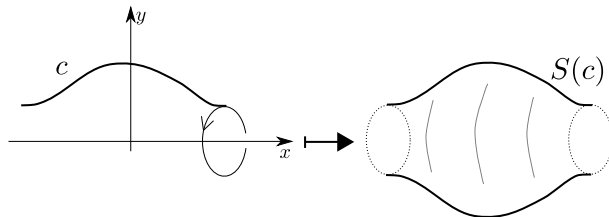


Figure 6: Axialsymmetrische Fläche generiert durch Profilkurve.

## Definition (Axialsymmetrische Fläche)

$$c : [0, 1] \rightarrow \mathbb{H}^2 := \{(x, y) \in \mathbb{R}^2 : y > 0\},$$

$$[0, 1] \times [0, 2\pi] \ni (t, \varphi) \mapsto f(t, \varphi) = (c^1(t), c^2(t) \cos \varphi, c^2(t) \sin \varphi).$$

# Das Dirichlet Randwertproblem für axialsymmetrische Willmore Flächen

Let  $\alpha_+, \alpha_- > 0$ .

$$\begin{cases} \Delta_{S(c)} H + 2H(H^2 - G) = 0, & \text{in } (0, 1) \\ c(0) = (-1, \alpha_-), \quad c(1) = (1, \alpha_+), \quad \dot{c}^2(0) = \dot{c}^2(1) = 0, \\ \dot{c}^1(0), \dot{c}^1(1) > 0, \end{cases}$$

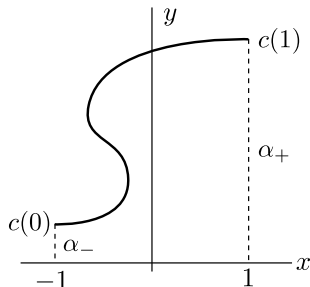
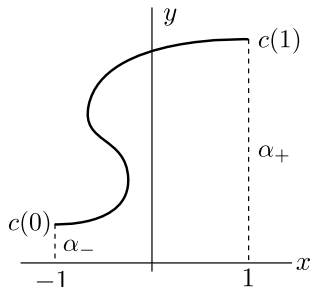


Figure 7: Skizze einer Lösung.

# Das Dirichlet Randwertproblem für axialsymmetrische Willmore Flächen

Let  $\alpha_+, \alpha_- > 0$ .

$$\begin{cases} \Delta_{S(c)} H + 2H(H^2 - G) = 0, & \text{in } (0, 1) \\ c(0) = (-1, \alpha_-), \quad c(1) = (1, \alpha_+), \quad \dot{c}^2(0) = \dot{c}^2(1) = 0, \\ \dot{c}^1(0), \dot{c}^1(1) > 0, \end{cases}$$



Existenz zuerst gezeigt von Dall'Acqua, Deckelnick & Grunau für  $\alpha_- = \alpha_+$  in 2008.

Figure 7: Skizze einer Lösung.